

## حل کلی مسأله دامنه بهینه برای یک سیستم سهموی با استفاده از اندازه‌ها

\*علیرضا فخارزاده جهرمی و فرامرز رستمی

گروه ریاضی - دانشگاه صنعتی شیراز

\*گروه ریاضی - دانشگاه شهید چمران اهواز

پست الکترونیکی: a\_fakharzadeh@sutech.ac.ir

### چکیده

حل مسأله طراحی شکل بهینه یک سیستم کنترلی سهموی، تعریف شده با زوج عناصر هندسی درون و مرز ناحیه به کمک روش نشاندن، هدف این مقاله می‌باشد. ابتدا شکل کلاسیک معادلات سهموی، همراه با شرایط مورد نظر را به معادلاتی انتگرالی تبدیل می‌کنیم. سپس در نمایش جدید، مسأله را بر مبنای مقاومیت نظریه اندازه‌ها به مسأله‌ای از نوع کمینه‌سازی یکتابعی بر مجموعه‌ای از اندازه‌های رادن مشتبث مبدل می‌سازیم. این مسأله با استفاده از تقریب مناسب و گسترش‌سازی فضای مسأله‌ای از نوع برنامه‌ریزی خطی متناهی قابل تبدیل و حل است. جواب‌های حاصل قادرند به صورت همزمان دامنه و کنترل (نژدیک) بهینه را معرفی نمایند. مثال‌های عددی نیز ارائه و با این روش حل گردیده است.

واژه‌های کلیدی: معادله سهموی، اندازه رادن، طراحی شکل بهینه، روش نشاندن

طراحی شکل برای اولین بار در سال ۱۸۷۲ توسط لیونز [۱] صورت گرفت و از آن به بعد دانشمندان زیادی در این زمینه کار کرده‌اند و روش‌های گوناگونی ارائه داده‌اند. یکی از روش‌های کارآیی که در این زمینه ارائه گردیده، روش نشاندن می‌باشد. این روش بر اساس ایده‌ای از یانگ در [۲] بنا شده است. در سال ۱۹۷۷ برای اولین بار روش نشاندن به وسیله ویلسون و ریبو برای حل مسأله‌ای از کنترل که بر اساس معادله انتشار تعریف شده است، به کار گرفته شد. سپس این روش به صورت یک نظریه توسط ریبو در سال ۱۹۸۶ تنظیم و در [۳] معرفی گردید.

### مقدمه و معرفی مسأله

نظریه طراحی شکل بهینه علاوه بر حساب تغییرات با نظریه‌های بهینه‌سازی، معادلات دیفرانسیل با مشتقان جزئی و حل عددی آن در ارتباط مستقیم می‌باشد. پیشرفت‌های علم ریاضی به صورت عام و این شاخه از ریاضیات به صورت خاص، سبب شده است که امروزه بتوانیم از توپولوژی، آنالیز مدرن، آنالیز حساسیت، نظریه اندازه‌ها و دانش‌های جدید ریاضی-کامپیوتر نیز به عنوان دیگر شاخه‌های مورد استفاده در طراحی شکل بهینه نام ببریم. استفاده از روش‌های کنترل بهینه در حل مسائل

که در معادله فوق  $n$  بردار نرمال خروجی در نقاط مرزی،  $v: \partial D \times (0, T) \rightarrow V$  برای مجموعه کراندار  $V$  تابع اندازه‌پذیر لبگ به عنوان تابع کنترل سیستم،  $f: (0, T) \times R \rightarrow R$  تابع پیوسته داده شده و  $H: (0, T) \times R \rightarrow R$  تابعی معلوم می‌باشد. برای راحتی قرارداد می‌کنیم:

$$\begin{aligned} Q_T &\equiv D \times (0, T), \quad \Gamma_T \equiv \partial D \times (0, T), \quad D_T \equiv D \times \{T\}, \\ D_0 &\equiv D \times \{0\}. \end{aligned}$$

بنا به کرانداری  $u$  و مشتقات اول آن، مجموعه‌های کراندار  $R \subset U \subset U'$  و  $U' \subset R'$  موجود می‌باشند که  $U \in U'$  و  $\nabla u \in U'$ .

فرض کنید  $f_0$  و  $f_1$  دو تابع پیوسته، نامنفی و حقیقی بوده و همچنین ثابت‌های  $h'$  و  $h''$  چنان موجود باشند که  $f_0(x, t, u, \nabla u) \leq h'|u| + h''\|\nabla u\|_E$  برای هر  $(x, t, u, \nabla u) \in Q_T \times U \times U'$ . اکنون می‌توان مسئله کلاسیک طراحی شکل بهینه‌ای که حل آن از روش نشاندن (شکل-اندازه) هدف این مقاله است را چنین نشاند:

$$\begin{aligned} \text{Minimize: } J(D, \partial D, u, v) &= \int_{Q_T} f_0(x, t, u, \nabla u) dx dt \\ &+ \int_{\Gamma_T} f_1(s, t, u(s, t), v(s, t)) ds dt \end{aligned}$$

Subject to:

$$\begin{aligned} u_t(x, t) &= \nabla u(x, t) + f(t, u(x, t)), \quad \forall (x, t) \in Q_T \\ u(x, 0) &= \xi_0(x), \quad u(x, T) = \xi_T(x) \\ \frac{\partial u}{\partial n} &= \nabla u \cdot n|_{\Gamma_T} = H(t, u) + v(s, t). \end{aligned} \quad (4)$$

لازم به ذکر است که تابع هدف در نظر گرفته شده، کلی ترین حالت ممکن برای این دسته مسائل است.

تعريف ۱: چهارتایی  $(D, \partial D, u, v)$  را قابل قبول نامند اگر و فقط اگر  $u$  یک جواب کراندار مسئله سهموی  $(1)$  الی  $(3)$  بر  $D$  باشد. مجموعه همه چهارتایی‌های قابل قبول را با  $F$  نمایش می‌دهیم.

به دنبال آن این روش به صورت متناوب توسط محققانی چون ریبو، فراهی، وحیدیان‌کامیاد و رادلف در مقالات متعدد مربوط به مسائل کنترلی مورد استفاده قرار گرفت. ریبو به دنبال آن این روش را برای مسائل متضمن معادلات بیضوی، اعم از خطی و غیر خطی، به کار گرفت [۴].

در سال ۱۹۹۹ فخارزاده و ریبو برای اولین بار این روش را برای حل مسائل طراحی شکل بهینه به کار برداشت (روش جدید، شکل-اندازه نامیده شد)؛ آنان در ابتدا این روش را برای مسئله طراحی شکل بهینه در مختصات قطبی معرفی کردند [۵] و سپس این روش را به مختصات دکارتی نیز گسترش دادند. همچنین در همان سال از این روش برای تعیین دامنه بهینه یک سیستم کنترلی بیضوی در مختصات قطبی استفاده شد [۶]. این مقاله بر آن است تا بر مبنای روش نشاندن به تعیین بهترین منحنی ساده و بسته‌ای در مختصات قطبی بپردازد که از نقطه مورد نظری گذشته، یک سیستم سهموی با شرایط مرزی و شرایط اولیه داده شده در درون آن برقرار بوده و در عین حال تابع هدف مفروضی را نیز کمینه سازد. برای این منظور ابتدا به تشریح سیستم سهموی مورد نظر می‌پردازیم.

فرض  $D$  ناحیه‌ای کراندار با مرز  $\partial D$  در فضای  $R'$  بوده و  $u: D \times (0, T) \rightarrow R$  یک تابع مشتق‌پذیر و کراندار در  $C^1(D \times (0, T))$  باشد که مشتقات جزئی اول آن کراندار بوده و در عین حال یک جواب سیستم سهموی با شرایط اولیه و مرزی زیر نیز باشد:

$$u_t(x, t) = \Delta u(x, t) + f(t, u(x, t)); \quad (1) \quad (x \in D, 0 < t < T)$$

$$u(x, 0) = \xi_0(x), \quad u(x, T) = \xi_T(x); \quad (x \in D) \quad (2)$$

$$\frac{\partial u}{\partial n} = \nabla u \cdot n|_{\partial D \times (0, T)} = H(t, u) + v(s, t); \quad (3)$$

$$u_y = u_r r_y + u_\theta \theta_x = \frac{y}{r} u_r + \frac{x}{r} u_\theta,$$

$$u_x = u_r r_x + u_\theta \theta_x = \frac{x}{r} u_r - \frac{y}{r} u_\theta$$

لذا برای هر تابع  $u$  که دارای مشتقات مراتب اول باشد، خواهیم داشت:

$$\nabla u = \left( \frac{x}{r} u_r - \frac{y}{r} u_\theta, \frac{y}{r} u_r + \frac{x}{r} u_\theta \right)$$

پس  $\nabla u \cdot \nabla \varphi = u_r \varphi_r + \frac{1}{r} u_\theta \varphi_\theta$  و از رابطه (۵) نتیجه می‌شود:

$$\begin{aligned} & \int_{Q^T} (-\varphi_t u(r, \theta, t) + \nabla_\varphi \nabla_u - \varphi f) r dr d\theta dt + \\ & \int_{\Gamma_T} \varphi(H(t, u) - v(s, t)) ds dt = \int_{D_0} \varphi \xi_r r dr d\theta \quad (6) \\ & - \int_{D^T} \varphi \xi_r r dr d\theta. \end{aligned}$$

چون  $\xi_r = \xi$ ،  $u(x, 0) = \xi$  و  $\varphi$  مستقل از  $t$  است پس:

$$\begin{aligned} & \int_{Q^T} (-\varphi_t u + \nabla_\varphi \nabla_u - \varphi f - \frac{1}{T} \varphi(\xi_l - \xi_r)) r dr d\theta dt \\ & + \int_{\Gamma_T} \varphi(H(t, u) - v(s, t)) ds dt = 0 \quad (7) \end{aligned}$$

در حالت کلی پیدا کردن جواب مسئله کلاسیک کار ساده‌ای نیست و در حل آن ممکن است با مشکلاتی روبرو شویم؛ از جمله تهی بودن مجموعه  $F$ ، حتی اگر  $F$  ناتهی باشد امکان دارد جواب آن یک چهارتایی قابل قبول نباشد. همچنین ممکن است نوشتن شرایط لازم جهت وجود جواب در حالت کلی پیچیده و یا حتی غیرممکن باشد [۷].

با توجه به مشکلات یاد شده، به دنبال معرفی روشی هستیم که تا حد ممکن از معایب فوق بری باشد. مشاهده خواهد شد که روش نشاندن، قادر به انجام چنین امری است.

در حالت کلی پیدا کردن یک جواب کلاسیک برای حالت عمومی مسئله (۴) مشکل می‌باشد [۷]؛ بنابراین سعی می‌کنیم که یک جواب ضعیف (تعیین یافته) برای آن پیدا کنیم. از این رو به وسیله گزاره زیر مسئله را به شکلی دیگر نمایش می‌دهیم که دست‌یابی به جواب برای آن میسر باشد؛ اثبات آن را در [۸] مشاهده کنید.

گزاره ۱: اگر  $u$  یک جواب کلاسیک مسئله سهموی (۱) باشد آنگاه برای هر  $\varphi \in H^1(D)$  (که  $\varphi \in H^1(D)$  باشد آنگاه برای هر  $\varphi \in H^1(D)$  فضای سوبولف است) داریم:

$$\begin{aligned} & \int_{Q^T} (-\varphi_t u + \nabla_\varphi \nabla_u - \varphi f) dx dt + \int_{\Gamma_T} \varphi(H(u, t) \\ & - v(s, t)) ds dt = \int_{D_0} \varphi \xi_r(x) dx - \int_{D^T} \varphi \xi_r(x) dx \quad (5) \end{aligned}$$

اکنون، بنابر آنچه که گذشت، صورت جدید مسئله به شکل زیر است:

$$\begin{aligned} & \text{Minimize: } J(D, \partial D, u, v) = \\ & \int_{Q^T} f(x, t, u, \nabla u) dx dt + \int_{\Gamma_T} f(s, t, u(s, t), v(s, t)) ds dt \\ & \text{Subject to: } \int_{Q^T} (-\varphi_t u + \nabla_\varphi \nabla_u - \varphi f) dx dt + \\ & \int_{\Gamma_T} \varphi(H(u, t) - v(s, t)) ds dt = \int_{D_0} \varphi \xi_r(x) dx - \\ & \int_{D^T} \varphi \xi_r(x) dx. \quad (\forall \varphi \in H^1(D)) \end{aligned}$$

از آنجا که در مختصات قطبی وقتی  $r \geq 0$  و  $\theta \leq 2\pi$  باشد، آنگاه منحنی  $r = r(\theta)$  یک منحنی ساده است (یعنی بین نقاط اولیه و انتهایی، خود راقطع نمی‌کند)؛ لذا در بخش بعد به بیان مسئله طراحی شکل بهینه در مختصات پرداخته می‌شود.

### بیان مسئله در دستگاه مختصات قطبی

فرض  $[0, 2\pi] = J$  و قرارداد می‌کنیم که مجموعه‌های  $W \subset R$  و  $A \subset R$  کراندار باشند. از تبدیلات دستگاه‌های مختصات قطبی و دکارتی، خواهیم داشت:

گزاره ۲: انتقال  $(D, \partial D, u, v) \mapsto (\lambda_u, \mu_v)$  از  $F$  به زوجی از نگاشتهای خطی  $(\lambda_u, \mu_v)$  تعریف شده در (۱۰) یک به یک است.

اثبات: مشابه با اثبات قضیه (۲-۳-۳) از [۱۰] است.

همچنین بنا به فوق اکنون تابع هدف نیز بر حسب اندازه‌های مجهول  $(\lambda_u, \mu_v)$  قابل بیان است:

$$\text{Minimize: } i(\lambda_u, \mu_v) = \lambda_u(f_{\circ}) + \mu_v(f_{\circ} \sqrt{r^{\circ} + \omega^{\circ}}) \quad (11)$$

که در آن

$$\begin{aligned} \lambda_u(f) &\equiv \int_{\Omega} f d\lambda_u \\ \mu_v(g) &\equiv \int_{W'} g d\mu_v \end{aligned}$$

بنا به گزاره ۱، تصویر تمام چهارتایی‌های قابل قبول در  $F$  تحت انتقال فوق را نیز می‌توان با  $F$  نمایش داد. یک به یک بودن انتقال، نشان می‌دهد که در اصل تغییری در ماهیت فضای ایجاد نشده است و صرفاً صورت نمایش مسئله عرض شده است. بنابراین تمام مشکلات قبلی همچنان به قوت خود باقی است. برای چیره شدن بر این مشکلات، فضای تعریف مسئله را گسترش می‌دهیم. و از میان زوج اندازه‌های رادن مثبت  $(\lambda, \mu)$  در  $M^+(\Omega) \times M^+(W')$  که در رابطه (۱۰) صدق می‌کند، آن زوج اندازه‌هایی را جستجو می‌کنیم که تابعی  $i(\lambda, \mu)$  را کمینه سازد. پس این کمینه‌سازی روی مجموعه بزرگتری از زوج اندازه‌های قابل قبول، انجام می‌گیرد و لذا کلی است.

### شناسایی زوج بهینه

قرارداد می‌کنیم:

$$F_{\varphi} \equiv (-\varphi_t u + \nabla_{\varphi} \nabla_u - \varphi f - \frac{1}{T} \varphi (\xi_1 - \xi_2)) r$$

انتقال مسئله به مسئله‌ای از فضای اندازه‌ها

هر جواب ضعیف  $u$  از (۴) تابعی مثبت، کراندار و خطی زیر را برابر  $\Omega = D \times (0, T) \times U \times U'$  معرفی می‌کند:

$$\begin{aligned} \Lambda_u : F &\rightarrow \int_{\Omega} F(\theta, r, t, u, \nabla u) dr d\theta dt, \\ \forall F \in C(\Omega) \end{aligned} \quad (8)$$

فرض  $\omega = \dot{r}(\theta)$  که  $\omega \in W$  کنترل مصنوعی می‌بین شکل بوده و  $W$  مجموعه‌ای کراندار در  $R$  می‌باشد)، آنگاه هر تابع کنترل  $v$  که در (۳) صدق کند، تابعی مثبت، کراندار و خطی زیر را در  $W'$  معرفی می‌کند:

$$\begin{aligned} \Gamma_u : G &\rightarrow \int_{J \times (0, T)} G(\theta, t, r, \omega, u) d\theta dt \equiv \\ &\int_{\Gamma_T} \frac{1}{\sqrt{r^{\circ} + \omega^{\circ}}} G ds dt, \quad \forall G \in C(W'). \end{aligned} \quad (9)$$

بر اساس قضیه نمایش ریس (۹) تابعی‌های فوق به ترتیب دو اندازه رادن یکتا و مثبت  $\mu_v$  را چنین معرفی می‌کنند [۳]:

$$\begin{aligned} \Lambda_u(F) &= \int_{\Omega} F(\theta, r, t, u, \nabla u) dr d\theta dt = \int_{\Omega} F d\lambda_u; \\ F \in C(\Omega) \end{aligned}$$

$$\begin{aligned} \Gamma_u(G) &= \int_{J \times (0, T)} G(\theta, t, r, \omega, u, \nabla u) d\theta dt \\ &= \int_{W'} G d\mu_v; \quad G \in C(W'). \end{aligned} \quad (10)$$

بنابراین هر چهارتایی قابل قبول می‌تواند یک زوج اندازه  $(\lambda_u, \mu_v)$  در زیرمجموعه مناسبی از  $M^+(\Omega) \times M^+(W')$  تلقی شود و لذا تبدیل:

$(D, \partial D, u, v) \in F \rightarrow (\lambda_v, \mu_u) \in M^+(\Omega) \times M^+(W')$  به وجود خواهد آمد.

$$\mu(f(\theta, r, \omega)) = Ta_f, \quad \forall f \in C_1(\tilde{W}). \quad (17)$$

اما نظر به خواص هندسی مجھولات مسأله و این که منحنی ساده و بسته  $D$  مرز  $\partial D$  است به دلیل ارتباط  $\partial D$  و  $D$ ، ارتباطی نیز بین دو اندازه  $\lambda$  و  $\mu$  موجود است که باید به نوعی در یافتن زوج بهینه مد نظر قرار گیرد. از این رو برای هر  $\rho, \tau \in C^1(J \times A)$  از قضیه استوکس [۱۱] خواهیم داشت:

$$\int_D \left( \frac{\partial}{\partial r}(r\rho) - \frac{\partial \tau}{\partial \theta} \right) dr d\theta = \int_J (\tau\omega + \rho r) d\theta. \quad (18)$$

حال اگر از طرفین رابطه فوق نسبت به  $t$  انتگرال بگیریم، رابطه زیر نتیجه می‌گردد:

$$\int_{D \times (0, T)} \left( \frac{\partial}{\partial r}(r\rho) - \frac{\partial \tau}{\partial \theta} \right) dr d\theta dt = \int_{J \times (0, T)} (\tau\omega + \rho r) d\theta dt$$

پس برای هر  $\rho$  و  $\tau$  دلخواه، این رابطه را می‌توان بر حسب اندازه‌های  $\lambda$  و  $\mu$  چنین نمایش داد:

$$\lambda(\rho + r \frac{\partial \rho}{\partial r} - \frac{\partial \tau}{\partial \theta}) - \mu(\tau\omega + \rho r) = 0$$

$$\rho, \tau \in C^1(J \times A)$$

همچنین می‌دانیم که تابع  $\nabla u$  گرادیان تابع  $u$  می‌باشد و ارتباط این دو باید همواره لحاظ گردد، خصوصاً وقتی که با گسته‌سازی و انتخاب مقادیر برای این دو در محاسبات عددی مسأله مواجه هستیم. بنابراین:

$$\int_D (u \nabla \phi + \nabla u \nabla \phi) r dr d\theta = \int_{\partial D} \phi u ds; \quad \phi \in H^1(D)$$

اگر از طرفین رابطه بالا بر حسب  $t$  انتگرال بگیریم، داریم:

$$\begin{aligned} \int_{D \times (0, T)} (u \nabla \phi + \nabla u \nabla \phi) r dr d\theta &= \int_0^T \int_{\partial D} \phi v ds dt \\ &= \int_{J \times (0, T)} \phi v \sqrt{r^2 + \omega^2} d\theta dt \end{aligned}$$

این رابطه بر حسب  $\mu$  و  $\lambda$  چنین قابل نمایش است:

$$G_\phi = \phi(H(t, u) - v(s, t)) \sqrt{r^2 + \omega^2} \quad \text{و}$$

(۷) به صورت زیر بیان می‌شود:

$$\lambda(F_\phi) + \mu(G_\phi) = 0, \quad \phi \in H^1(D) \quad (13)$$

حال اگر  $B \in R^2$  یک گوی باز و شامل مجموعه  $J \times A$  باشد، آنگاه برای هر  $\phi \in C'(B)$  مطابق [۳] تعريف می‌کنیم:

$$\phi^s(\theta, r, \omega) = \phi_r(\theta, r)\omega + \phi_\theta(\theta, r) \quad (14)$$

و با انتگرال‌گیری از آن روی  $J \times (0, T)$  خواهیم داشت:

$$\delta(\phi) = \int_{J \times (0, T)} \phi^s(\theta, r(\theta), \omega(\theta)) d\theta dt = T\delta(\phi)$$

اختلاف مقدار  $\phi$  در نقاط ابتدا و انتهای  $D$  است. پس داریم:

$$\mu(\phi^s(\theta, r, \omega)) = T\delta(\phi), \quad \forall \phi \in C'(B). \quad (15)$$

حال یک حالت ویژه از (۱۴) را مورد بررسی قرار می‌دهیم. برای هر  $\psi \in D(J^\circ)$  تعريف می‌کنیم:

$$\psi^s(\theta, r(\theta), \omega(\theta)) = r(\theta)\psi'(\theta) + \omega(\theta)\psi(\theta)$$

بنابراین خواهیم داشت:

$$\begin{aligned} \int_{J \times (0, T)} \phi^s(\theta, r(\theta), \omega(\theta)) d\theta dt &= T \int_J (r\psi(\theta))' d\theta \\ &= T[r(\theta)\psi(\theta)]_0^\pi = 0 \end{aligned}$$

زیرا  $\psi(2\pi) = \psi(0) = 0$ . بنابراین:

$$\mu(\psi^s) = 0, \quad \forall \psi \in D(J^\circ) \quad (16)$$

با فرض  $\tilde{W} = J \times A \times W$ ، توابع دلخواه دیگری از  $C'(B)$  را که فقط به متغیر  $\theta$  بستگی دارند در نظر می‌گیریم. همچنین برای  $f \in C_1(\tilde{W})$  تعريف می‌کنیم  $\phi(\theta, r, \omega) = f(\theta)$

$$\int_{J \times (0, T)} f d\theta dt = T \int_J f d\theta = Ta_f$$

که در آن  $a_f$  انتگرال  $f(0, r, \omega)$  روی  $[0, 2\pi]$  می‌باشد. لذا:

الف) برای اولین دسته از قیود (۲۰)، توابع  $\{\phi_i : i = 1, 2, \dots, M_1\}$  در  $C'(B)$  را به صورت چندجمله‌ای‌هایی از  $r$  و  $\theta$  مانند:

$$r, \theta, r^r, \theta^r, r\theta^r, r^r\theta, \dots$$

انتخاب می‌کنیم [۳]:

ب) برای دسته دوم از قیود (۲۰) توابع  $(2\pi j\theta)$  می‌تواند  $\psi_j = \sin(2\pi j\theta)$  باشد. در نظر می‌گیریم  $\psi_j = 1 - \cos(2\pi j\theta)$  را در  $D(J^\circ)$  داشته باشد. سپس دنباله توابع  $(X_h : h = 1, 2, \dots, M_1)$  را به صورت زیر معرفی می‌کنیم:  $X_h = r\psi'(0) + \omega\psi(\theta)$ . مجموعه این توابع در  $D(J^\circ)$  تام است [۳].

ج) برای دسته سوم از قیود (۲۰)، توابع را به صورت تابع

مشخصه یعنی  $f_s(\theta) = \begin{cases} 1 & \theta \in J_s \\ 0 & \theta \notin J_s \end{cases}$  را اختیار می‌کنیم، به طوری که برای  $s = 1, 2, \dots, M_1$

$$J_s = \left[ \frac{2\pi(s-1)}{M_1}, \frac{2\pi s}{M_1} \right]$$

$J$  می‌باشد. در اینجا باید توجه داشت که هر چند تابع  $f_s$  پیوسته نمی‌باشد اما هر کدام از توابع  $f_s$  حد دنباله‌ای از توابع پیوسته و مثبت  $f_{sk}$  می‌باشد و ترکیبات خطی دلخواه این تابع می‌تواند هر تابع پیوسته را تقریب نمایند [۱۲].

د) در  $H^1(D)$  دنباله توابع  $\{\phi_n : n \geq 1\}$  با  $\phi_n = r^n \sin(n\theta)$  یا  $\phi_n = r^n \cos(n\theta)$  می‌کنیم؛ در [۶] نشان داده شده که این تابع در  $H^1(D)$  تام هستند.

حال با در نظر گرفتن تعداد متناهی تابع از هر یک از مجموعه‌های تام ذکر شده، مسئله زیر که تعداد قیود آن متناهی است حاصل می‌شود؛ این مسئله شکل جدید تقریب شده از مسئله اصلی می‌باشد که یک مسئله از نوع برنامه‌ریزی خطی نیمه متناهی است.

$$\lambda(ru\nabla\phi + \nabla u\nabla\phi) = \mu(\phi v\theta\sqrt{r^r + \omega^r}), \quad (19)$$

$$\forall \phi \in H^1(D);$$

بنابراین به جای حل مسئله (۴) می‌توان جواب بهینه مسئله جدید زیر را در  $Q$  به دست آورد:

$$\begin{aligned} \text{Minimize: } \quad i(\lambda, \mu) &= \lambda(f_0) + \mu(f_1\sqrt{r^r + \omega^r}) \\ \text{Subject to: } \\ \mu(\phi^s) &= T\delta(\phi) \quad \forall \phi \in C'(B) \\ \mu(\psi^s) &= 0 \quad \forall \psi \in D(J^\circ) \\ \mu(f) &= Ta_f \quad f \in C_*(\tilde{\omega}) \quad (20) \\ \lambda(F_\phi) + \mu(G_\phi) &= 0 \quad \varphi \in H^1(D) \\ \lambda(\rho + r \frac{\partial \rho}{\partial r} - \frac{\partial \tau}{\partial \theta}) - \mu(\tau\omega + \rho r) &= 0 \quad \rho, \tau \in C^1(J \times A) \\ \lambda(u\nabla\phi + \nabla u\nabla\phi) &= \mu(\phi v\theta\sqrt{r^r + \omega^r}) \quad \phi \in H^1(D). \end{aligned}$$

### وجود جواب و چگونگی تقریب آن

قضیه ۱: زوج بهینه  $(\lambda^*, \mu^*)$  از اندازه‌ها در مجموعه  $Q \subseteq M^+(\Omega) \times M^+(\omega')$  آنچنان وجود دارد که:

$$\forall (\lambda, \mu) \in Q \quad i(\lambda^*, \mu^*) \leq i(\lambda, \mu)$$

اثبات: می‌توان به [۶] قضیه ۱ و یا [۳] قضیه ۱-۲ مراجعه کرد.  $\square$

علیغم اثبات وجود جواب توسط قضیه فوق، تعیین آن به صورتی دقیق، به هیچ وجه امری ساده نیست. زیرا نه تنها تعداد قیود مسئله نامتناهی است، بلکه بعد واقعی فضای مسئله نیز نامتناهی است. لذا سعی خواهیم کرد جواب بهینه را به صورتی تقریبی (با تقریبی کاملاً مناسب) بیابیم. برای این منظور ابتدا با تقریب مناسب تعداد قیود و سپس با استفاده از گستره‌سازی؛ تعداد مجھولات را به تعدادی متناهی تقریب می‌کنیم. سپس جوابی تقریباً بهینه را برای مسئله به دست خواهیم آورد. انتخاب تعداد متناهی از قیود، با انتخاب مجموعه‌های تام مناسب به شیوه زیر انجام می‌پذیرد:

بهینه (۲۱) باشد؛ از قضیه A.۵ در [۳] نتیجه می‌شود که اندازه‌های بهینه دارای فرم نمایشی:

$$\mu^* = \sum_{m=1}^M \beta_m^* \delta(Z_m^*), \quad \lambda^* = \sum_{n=1}^N \alpha_n^* \delta(z_n^*)$$

هستند که در آن برای هر  $n = 1, 2, \dots, N$  و  $m = 1, 2, \dots, M$  داریم  $\beta_m^* \geq 0$  و  $\alpha_n^* \geq 0$  و

همچنین  $Z_m^*$  و  $z_n^*$  به ترتیب متعلق به زیرمجموعه‌های چگالی از  $\Omega$  و  $W'$  می‌باشند. در اینجا  $M$  و  $N$  اعدادی صحیح و مثبت بوده و  $\delta(z)$  یک اندازه اتمی واحد با تکیه‌گاه مجموعه منفرد  $\{z\}$  می‌باشد.

بنابراین با در نظر گرفتن این شکل نمایش  $\lambda^*$  و  $\mu^*$ ، مسئله (۲۱) معادل یک مسئله برنامه‌ریزی ریاضی ضرایب

مجھول  $\alpha_n^*$  و  $\beta_m^*$  بوده و تکیه‌گاه‌های مجھول  $\{z_i\}_{j=1}^N$  و

$\{Z_j^*\}_{j=1}^M$  به ترتیب از فضاهای  $\Omega$  و  $W'$  می‌باشند. حال اگر بتوانیم تابع  $\lambda(f_0) + \mu(f_0) \rightarrow (\lambda, \mu)$  را فقط نسبت

به ضرایب  $\alpha_i^*$  و  $\beta_j^*$  کمینه سازیم در این صورت مسئله

به یک مسئله برنامه‌ریزی خطی تبدیل خواهد شد. فرض

به یک مسئله برنامه‌ریزی خطی تبدیل خواهد شد. فرض

$E_{W'}$  و  $E_\Omega$  به ترتیب دو زیرمجموعه چگال شمارا از  $\Omega$  و  $W'$  باشند، آنگاه با انتخاب تعداد متناهی از عناصر

آنها و با نتیجه گرفتن از قضیه ۳ فصل سوم [۳] و نمایش انداده‌های  $\lambda$  و  $\mu$  به صورت ترکیب خطی از اندازه‌های

اندازه‌های  $\lambda$  و  $\mu$  به صورت زیر داده می‌شوند. چنان‌که در آن نقاط  $z_n$  و  $Z_m$  به ترتیب از زیرمجموعه‌ای متناهی از مجموعه‌های

نمایش  $E_{W'}$  و  $E_\Omega$  انتخاب شده‌اند.

$$\begin{aligned} \lambda &= \sum_{n=1}^N \alpha_n \delta(z_n), & z_n &\in E_\Omega, \\ \mu &= \sum_{m=1}^M \beta_m \delta(Z_m), & Z_m &\in E_{W'}. \end{aligned} \quad (22)$$

آنگاه جواب مسئله (۴) قابل تقریب با جواب حاصل از مسئله برنامه‌ریزی خطی متناهی زیر است:

$$\text{Minimize: } i(\lambda, \mu) = \lambda(f_0) + \mu(h_0 \sqrt{r^* + \omega^*})$$

Subject to :

$$\begin{aligned} \mu(\phi_k^s) &= T\delta(\phi) & k &= 1, 2, \dots, M, \\ \mu(X_l) &= 0 & l &= 1, 2, \dots, M, \\ \mu(f_s) &= Ta_s & s &= 1, 2, \dots, M, \\ \lambda(F_i) + \mu(G_i) &= 0 & i &= 1, 2, \dots, M, \\ \lambda(D_j) - \mu(E_j) &= 0 & j &= 1, 2, \dots, M, \\ \lambda(H_r) + \mu(I_r) &= 0 & r &= 1, 2, \dots, M, \end{aligned} \quad (21)$$

که در آن

$$D_j = ru\nabla\phi_j + r\nabla u\nabla\phi_j$$

$$E_j = -(\phi_j v \sqrt{r^* + \omega^*})$$

$$H_r = H_{ij} = \phi_i + r \frac{\partial\phi_i}{\partial r} - \frac{\partial\phi_i}{\partial\theta}$$

$$F_i = F_{\phi_i}, G_i = G_{\phi_i}$$

$$I_r = I_{ij} = -(\phi_j \omega + \phi_i r)$$

قضیه زیر نشان می‌دهد که وقتی  $i$  ها برای  $i = 1, 2, \dots, M$  به سمت بینهایت میل کند، جواب مسئله (۲۱) به جواب مسئله (۲۰) میل می‌کند. اثبات قضیه به صورت مشابه نظری آن است که در [۳] ذکر شده است.

قضیه ۲: برای عده‌های صحیح  $i = 1, 2, \dots, M$

فرض کنید  $Q_M$  مجموعه همه زوج‌های

$$(\lambda, \mu) \in M^+(\Omega) \times M^+(W')$$

باشد که در قیدهای مسئله (۲۰) صدق می‌کنند. اگر  $i$  ها برای  $i = 1, 2, \dots, M$  به سمت بینهایت میل کنند، آنگاه:

$$\inf_{Q_M} i(\lambda, \mu) \rightarrow \inf_{Q} i(\lambda, \mu).$$

گرچه در (۲۱) تعداد قیود متناهی است اما فضای جواب دارای بعد نامتناهی است. بنابراین در گام دوم تقریب، جواب مسئله را با جواب یک مسئله برنامه‌ریزی خطی متناهی تقریب خواهیم نمود. اگر  $(\lambda^*, \mu^*)$  یک جواب

فرم دلخواه در می‌آید. هدف یافتن بهترین شکل هندسی در فضای دو بعدی، و اعمال بهترین کنترل (مثلاً به صورت انرژی گرمایی) بر مرز آن است چنان که اگر این ماده مذاب را به آن شکل قالب‌گیری کنیم، بعد از مدت زمان معین  $T$  ثانیه، دمای آن به  $b$  درجه سانتی‌گراد برسد. به علاوه تمایل داریم که تا حد امکان انرژی گرمایی وارد شده بر مرز، کمترین مقدار باشد. از این رو اختیار می‌کنیم  $f_1 = v$  و  $f_2 = 0$ . همچنین با توجه به اختیار مسئله، فرض می‌کنیم؛  $u(x, T) = b = 1$ ،  $u(x, 0) = a = 2$ ،  $A = [0, 1]$ ،  $J = [0, 2\pi]$ ،  $U = [0, 2]$  و  $T = 2$  مساحت داده شده را برابر ۲ و نقطه ثابت را  $(0, 0/5) = (0, 0/5)$  در نظر می‌گیریم.

آنگاه با انتخاب  $[0/5, 0/0]$ ،  $U_1 = U_2 = [-0/5, 0/0]$  و  $V = [0, 1]$  و  $W = [-0/3, 0/3]$  به حل مسئله بر مبنای روش شرح داده شده می‌پردازیم.

توجه داریم که در مختصات قطبی  $\nabla \varphi = \frac{\partial \varphi}{\partial r} u_r + \frac{1}{r} \frac{\partial \varphi}{\partial \theta} u_\theta$  و  $\nabla u = u_r u_\theta + u_\theta u_\theta$  باشد. از آنجا که منع انرژی گرمایی ما صرفاً بیرونی است، لذا منع انرژی گرمایی درونی وجود نخواهد داشت، پس  $f = 0$  می‌باشد. برای حل مسئله مجموعه‌های  $J$ ،  $A$ ،  $(0, T)$ ،  $V$  و  $W$  را به ترتیب به ۸، ۱۰، ۱۰، ۵ و ۱۰ قسمت مساوی تقسیم می‌کنیم. سپس از هر جزء بازه یک نقطه را به طور دلخواه بر می‌گزینیم.

بنابراین فضای  $W' = J \times A \times (0, T) \times V \times W$  را با  $Z_m = (\theta_m, r_m, t_m, v_m, \omega_m)$  گره  $M = 4 \times 10^4$  گسته‌سازی کرده‌ایم.

همچنین هر کدام از مجموعه‌های  $U_1$  و  $U_2$  را به ۵ قسمت مساوی تقسیم می‌کنیم و در نتیجه

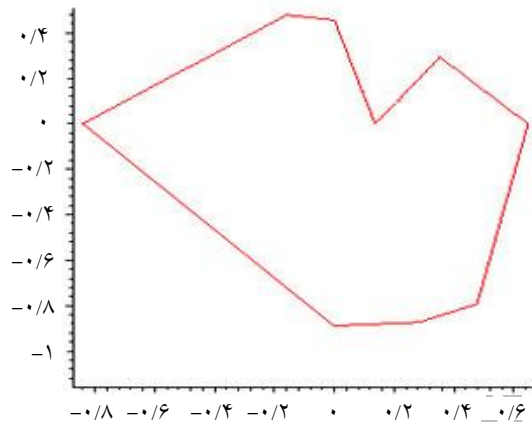
$$\begin{aligned} \text{Minimize: } & \sum_{n=1}^N \alpha_n f_n(z_n) + \sum_{m=1}^M \beta_m f_m(Z_m) \sqrt{r_m^2 + \omega_m^2} \\ \text{Subject to: } & \sum_{m=1}^M \beta_m \phi_k^m(Z_m) = T \delta \phi_k \quad k = 1, 2, \dots, M, \\ & \sum_{m=1}^M \beta_m X_l(Z_m) = 0 \quad l = 1, 2, \dots, M, \\ & \sum_{m=1}^M \beta_m f_s(Z_m) = T a_s \quad s = 1, 2, \dots, M, \\ & \sum_{n=1}^N \alpha_n F_n(z_n) + \sum_{m=1}^M \beta_m G_m(Z_m) = 0 \quad i = 1, 2, \dots, M, \\ & \sum_{n=1}^N \alpha_n D_j(z_n) + \sum_{m=1}^M \beta_m E_j(Z_m) = 0 \quad j = 1, 2, \dots, M, \\ & \sum_{n=1}^N \alpha_n H_r(z_n) + \sum_{m=1}^M \beta_m I_r(Z_m) = 0 \quad r = 1, 2, \dots, M, \\ & \alpha_n \geq 0 \quad n = 1, 2, \dots, N \\ & \beta_m \geq 0 \quad m = 1, 2, \dots, M. \end{aligned} \quad (33)$$

که در آن  $Z_m = (\theta_m, r_m, t_m, \omega_m, v_m) \in W'$  و  $z_n = (\theta_n, r_n, t_n, u_{1_n}, u_{2_n}) \in \Omega$ . این مسئله در صورت معین بودن  $Z_m$  و  $z_n$  ها با نرم افزارهای مختلف ریاضی قابل حل است. لذا پس از حل، همان‌گونه که در فصل سوم [۱۰] نیز توضیح داده شده است، به استخراجتابع کنترل بهینه در بین داده‌ها می‌پردازیم.

### مثال‌های عددی

مثال ۱: ماده مذاب معینی که از کوره با دمای  $a$  درجه سانتی‌گراد خارج می‌شود، می‌تواند به صورت‌های مختلفی در نظر گرفته شود. به عنوان نمونه در کارخانه‌های صنایع پلاستیکی تولید کننده ظروف یکبار مصرف و یا ظروف پلاستیکی محافظ غذا (نظیر آنچه که در سرویس‌های هواپیمایی کاربرد دارد)، ابتدا پلاستیک حرارت داده می‌شود و به صورتی بسیار نرم و با قابلیت انعطاف بالا در می‌آید. چنین ورقه‌ای می‌تواند به عنوان یک مایع (ماده مذاب) در نظر گرفته شود. آنگاه در کارخانه این مایع مذاب با استفاده از قالب و دمیدن هوا برش خورده و به

در صفحه مختصات قطبی مشخص می‌کنیم. از اتصال این نقاط به وسیله پاره خط‌هایی که دو نقطه متولی حاصل را به هم وصل می‌کنند (خطوط شکسته) شکل دامنه (تقریباً) بهینه که به وسیله مجموعه‌ای از پاره خط‌ها به نمایش درآمده است، حاصل می‌گردد. دامنه (تقریباً) بهینه را در شکل ۲ نشان داده‌ایم.

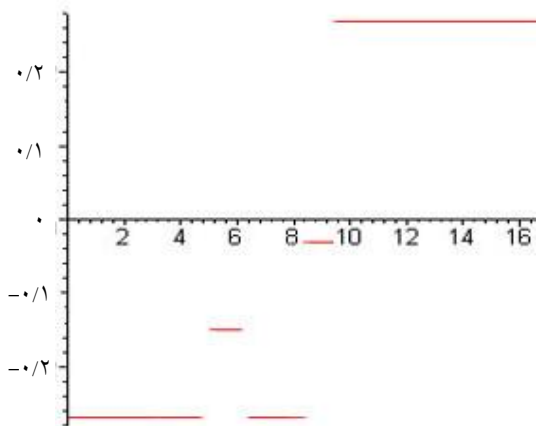


شکل ۲- شکل بهینه مثال ۱

مثال ۲: افرض می‌کنیم مساحت داده شده برابر ۱ و  $f_1 = v$ ,  $f_2 = u$ ,  $T = 1$ . همچنین مجموعه‌های کراندار را برای این مثال به صورت زیر انتخاب می‌کنیم:  $W = [-0/3, 0/3]$ ,  $J = [0, 2\pi]$ ,  $U = [0, 2]$  و  $A = V = U_1 = U_2 = [0, 1]$ . آنگاه همانند مثال ۱ به حل مسأله می‌پردازیم. مسأله برنامه‌ریزی خطی نظری (۲۳) که برای این مسأله بر پا می‌شود، دارای ۲۶ قید و ۱۸۰۰۰ متغیر می‌باشد. مقدار بهینه برای تابع هدف برابر  $1257742060146306$  حاصل شد. آنگاه کنترل مصنوعی تقریباً بهینه و شکل تقریباً بهینه را همان‌گونه که در مثال قبل شرح داده شد، به دست آوردیم. این کنترل و دامنه بهینه حاصل به ترتیب در شکل‌های ۳ و ۴ نمایش داده شده‌اند.

فضای  $\Omega = J \times A \times (0, T) \times U \times U_1 \times U_2$  را با  $N = 10^5$  گره  $z_n = (\theta_n, r_n, t_n, u_n, u_{1n}, u_{2n})$  گسسته می‌سازیم. با انتخاب  $M_1 = 6$ ,  $M_2 = 8$ ,  $M_3 = 6$ ,  $M_4 = 2$  و  $M_5 = 2$ , یک مسأله برنامه‌ریزی خطی با ۲۶ محدودیت و ۱۴۰۰۰۰ متغیر نظری (۲۳) حاصل می‌شود.

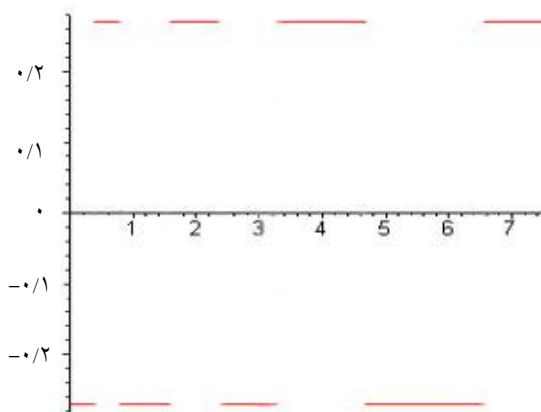
آنگاه با استفاده از روش سیمپلکس اصلاح شده که در زیر برنامه DDLPRS از کتابخانه IMSL نرم‌افزار Visual Fortran آمده است، مسأله فوق حل گردید. مقدار تقریباً بهینه تابع هدف برابر  $0/97884436583803488$  استفاده از مقادیر بهینه  $\alpha_i^*$  ها و  $\beta_j^*$  ها به دست آمد. همچنین با کنترل مصنوعی (تقریباً) بهینه (میان شکل) به صورت یک تابع قطعه‌ای ثابت معین گردید؛ شکل ۱ این تابع کنترل (تقریباً) بهینه را نشان می‌دهد.



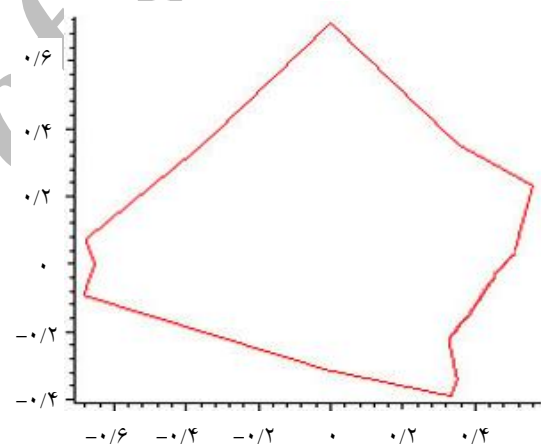
شکل ۱- تابع کنترل مصنوعی میان شکل برای مثال ۱

برای تعیین دامنه تقریباً بهینه، پس از تعیین  $\omega_i$  ها و  $\theta_i$  ها با فرض  $r_i = r_0$  و با استفاده از معادله تفاضلی  $r_i = r_{i-1} + (\theta_i - \theta_{i-1})\omega_i$ ,  $i = 1, 2, \dots, m$  حاصل از رابطه  $\omega = \dot{r}(\theta)$  مقادیر  $r_i$ ,  $i = 1, 2, 3, \dots, m$  نیز مشخص می‌شوند. سپس نقاط به دست آمده  $(\theta_i, r_i)$  را

- problems. Manchester University Press, Manchester, (1986).
- [4] Rubio, J.E., The global control of nonlinear elliptic equations. Journal of the Franklin Institute 330, 1 (1993) 29-35.
- [5] Fakharzadeh, A.J. and Rubio, J.E., Shape and Measures. IMA J. Math. Control and Inf., 16 (1999) 207-220.
- [6] Fakharzadeh, A.J. and Rubio, J.E., Global Solution of optimal shape design problem. AMS J. Math. Analysis and its Applications, 18, 1 (1999) 143-155.
- [7] Mikhailov, V.P., Partial Differential Equations. Moscow, MIR publ. (1978).
- [۸] خاکتاب، ع.. کنترل بهینه مرزی معادلات سهمی گون غیر خطی، پایان نامه کارشناسی ارشد، دانشگاه فردوسی مشهد، شهریور ۱۳۷۸.
- [۹] اعلامپور، ع. تعیین شکل بهینه در فضای دو بعدی بر مبنای نظریه اندازه و کنترل، پایان نامه کارشناسی ارشد، دانشگاه شهید چمران اهواز، ۱۳۸۱.
- [10] Leopold, F., Advanced Calculus. The Williams and Wilkins Company, USA, (1976).
- [11] Rubio, W., Principles of Mathematical Analysis (2<sup>nd</sup> ed.). New York: McGraw-Hill, (1976).
- [12] Rudin, W., Principles of Mathematical Analysis (2<sup>nd</sup> ed). New Delhi, Tata McGraw-Hill, (1983).



شکل ۳- تابع کنترل مصنوعی میان شکل برای مثال ۲



شکل ۴- شکل بهینه مثال ۲

## مراجع

- [1] Lions, J.L., Some Aspects of the Optimal Control of Distributed Parameters Systems. RESAM, SIAM, 6 (1972).
- [2] Young, L.C., Lectures On the Calculus of Variations and Optimal Control theory. W. B. Saunders Company, (1969).
- [3] Rubio, J.E., Control and Optimization: the linear treatment of nonlinear